



Universidade de São Paulo
Escola Politécnica
Departamento de Engenharia de Sistemas Eletrônicos

PSI-5761 - Introdução aos Processos de Fabricação em Microeletrônica

Oxidação Térmica

Prof. Roberto K. Onmori sala C2-70 (tel. 3091-5251)
email: RKONMORI@LME.USP.BR

Prof. Fernando J. Fonseca sala C2-65 (tel. 3091-0730)
email: FERNANDO.EPUSP@GMAIL.COM



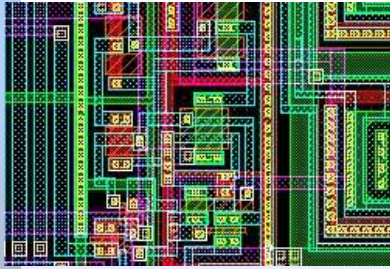
Introdução

- Uso de diferentes tipos de filmes - 4 grupos:
 - Óxidos térmicos
 - Camadas dielétricas
 - Silício Policristalino e
 - Metais.

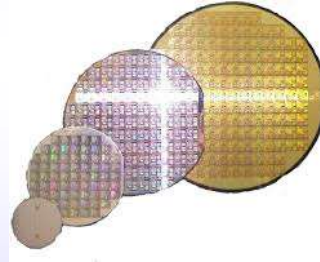
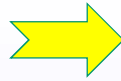


Na fabricação dos CIs:

O projetista de Circuitos Integrados **gera um desenho** com regiões com condutividades diferentes!



Projeto de CI

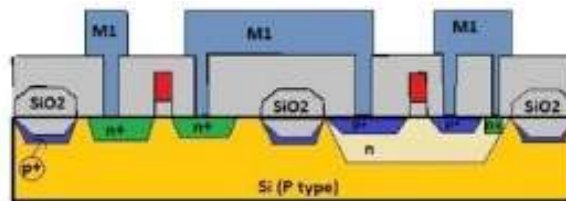
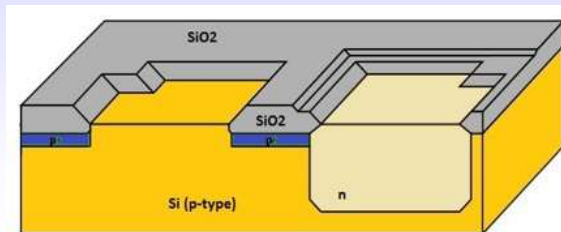


CI sobre o Silício

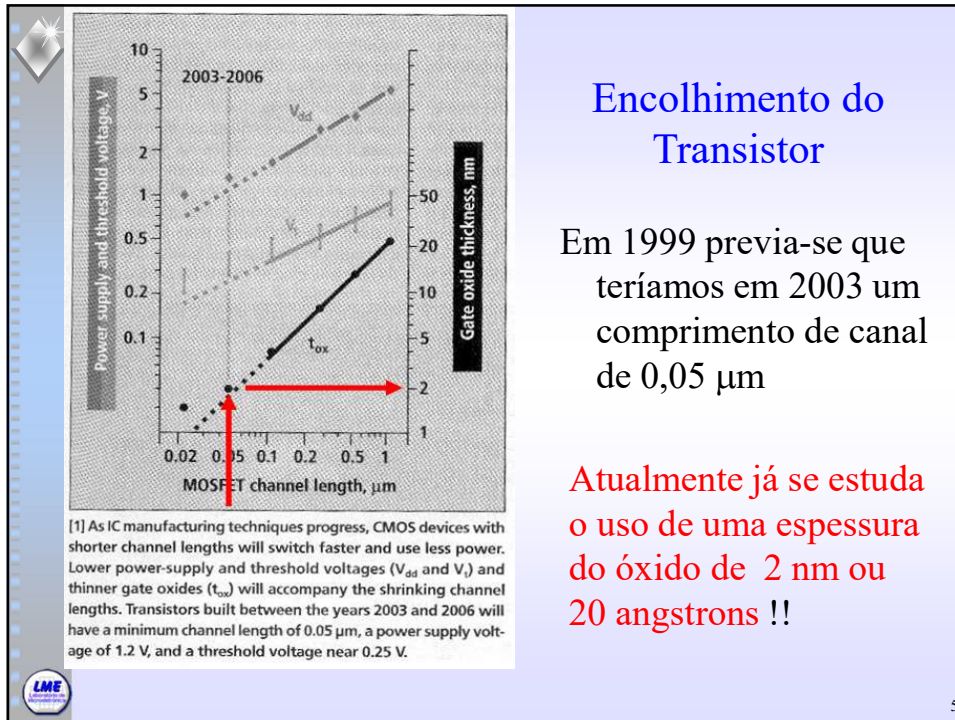


3

O projeto do CI exige a definição de regiões N e P



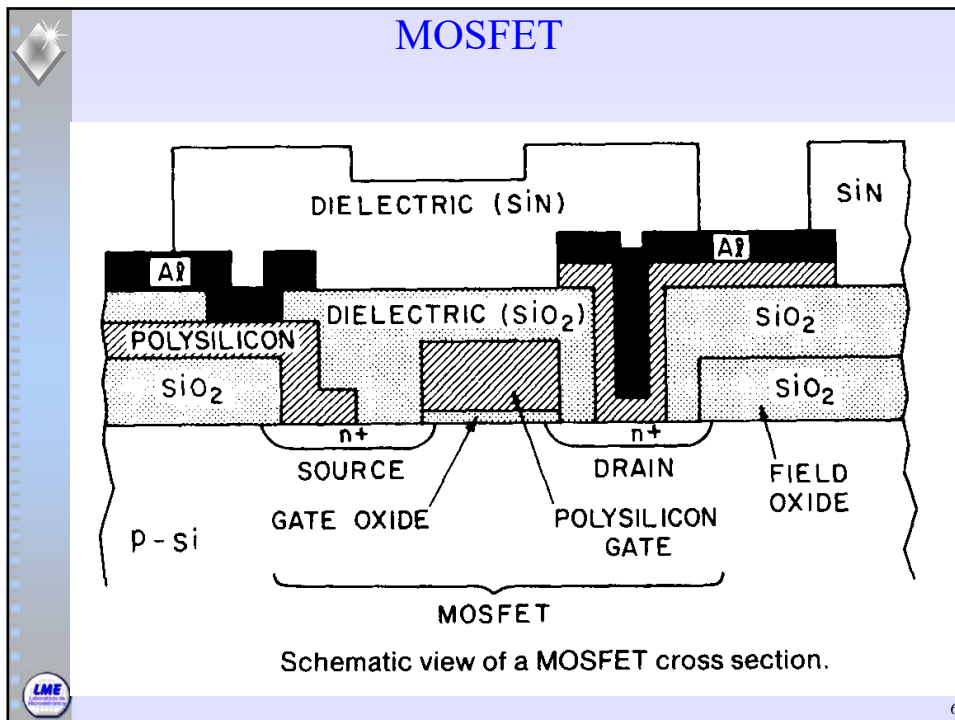
4



Encolhimento do Transistor

Em 1999 previa-se que teríamos em 2003 um comprimento de canal de 0,05 μm

Atualmente já se estuda o uso de uma espessura do óxido de 2 nm ou 20 angstroms !!



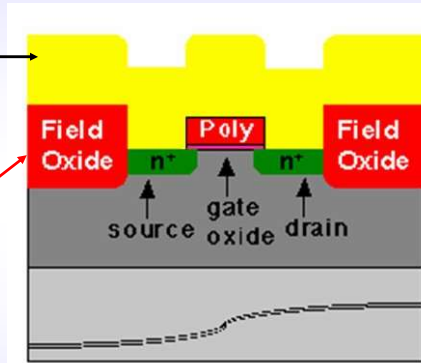
Principais usos de um óxido no CI

Vários óxidos são crescidos ou depositados para isolar ou proteger a formação do transistor

Óxido da Porta (*gate*) é o melhor óxido que se possa obter.

Óxidos de **isolação** são depositados para isolar os transistores das camadas de interconexão que serão depositadas sobre eles

Óxidos de **Campo** (*Field*) são crescidos para isolar cada transistor do transistor adjacente.



Óxidos de passivação são depositados no fim do processo sobre todos os transistores a fim de proteger a superfície de qualquer dano.



F1

Tipos de Oxidação

- Podemos separar em dois grupos:

- Térmica

Crescimento do SiO_2 utilizando o substrato como fonte de silício

- Anodização eletroquímica
- Deposição (CVD) e
- Reação por plasma

Deposição do SiO_2 com o silício vindo de outra fonte independente do substrato de silício



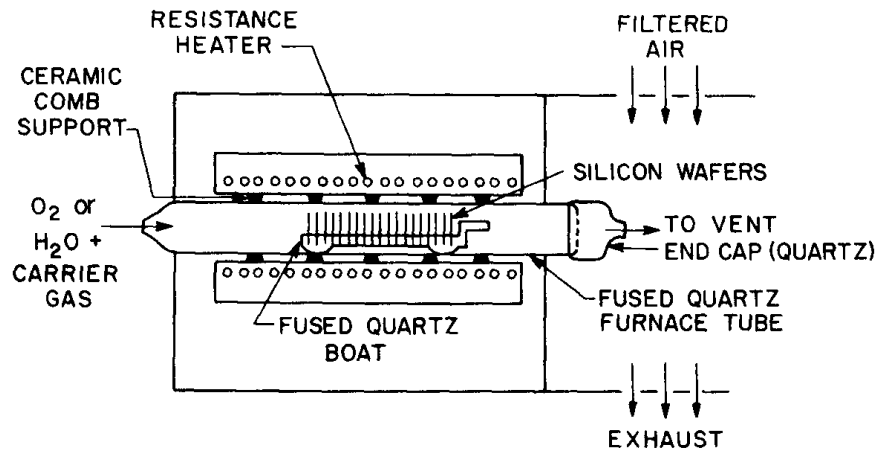
8

Slide 8

F1

Fernando; 31/03/2020

O Forno de Oxidação



Schematic cross section of a resistance-heated oxidation furnace.
The silicon wafer loading area is shown in a laminar hood.



9

O Forno de Oxidação



Fornos de oxidação:

- pressão atmosférica (tubo aberto)
- elevado controle de Temperatura
- automático



10

O Forno de Oxidação

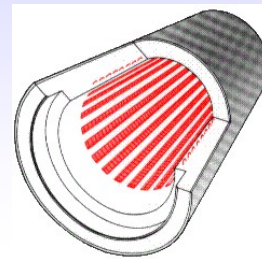


11

Elementos do Forno de Oxidação

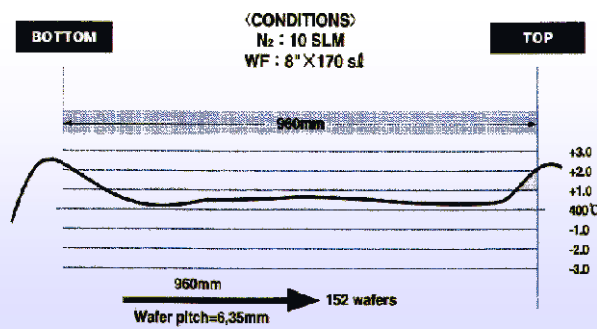


Elemento resistivo



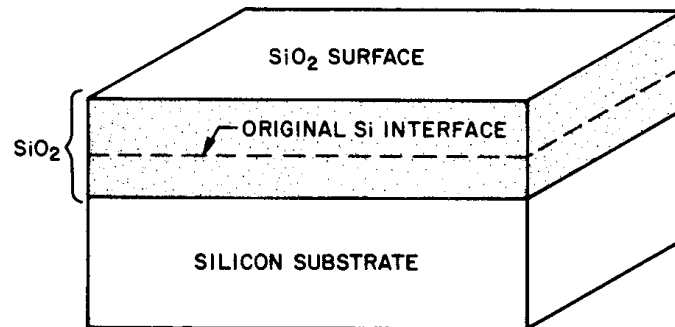
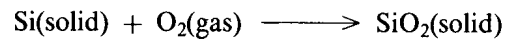
Fornos de oxidação:

- precisão da temperatura
- Variação < 1°C na região de trabalho



12

A reação química do processo de crescimento do óxido de silício



Growth of silicon dioxide by thermal oxidation.



13

Volume e Espessura do óxido crescido

$$\frac{\text{Molecular weight of Si}}{\text{Density of Si}} = \frac{28.09 \text{ g/mole}}{2.33 \text{ g/cm}^3} = 12.06 \text{ cm}^3/\text{mole}.$$

The volume of 1 mole silicon dioxide is

$$\frac{\text{Molecular weight of SiO}_2}{\text{Density of SiO}_2} = \frac{60.08 \text{ g/mole}}{2.21 \text{ g/cm}^3} = 27.18 \text{ cm}^3/\text{mole}.$$

$$\frac{\text{Thickness of Si} \times \text{area}}{\text{Thickness of SiO}_2 \times \text{area}} = \frac{\text{volume of 1 mole of Si}}{\text{volume of 1 mole of SiO}_2}$$

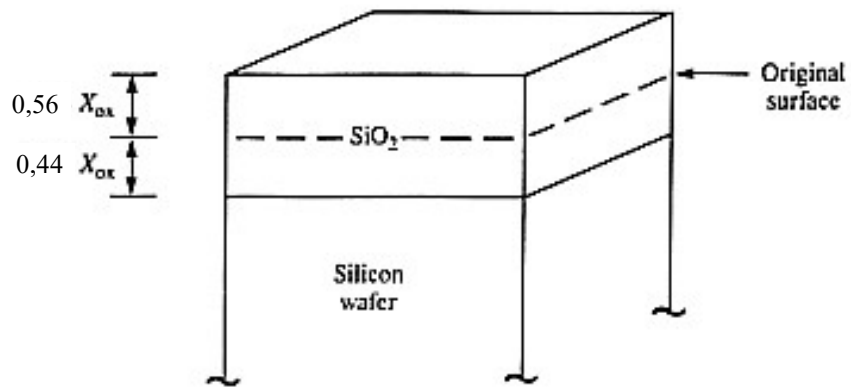
$$\frac{\text{Thickness of Si}}{\text{Thickness of SiO}_2} = \frac{12.06}{27.18} = 0.44$$

Thickness of silicon = 0.44(thickness of SiO₂).



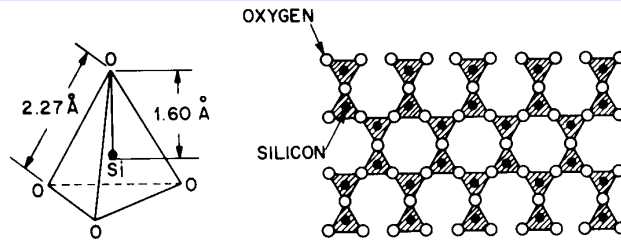
14

Superfície inicial x Superfície final



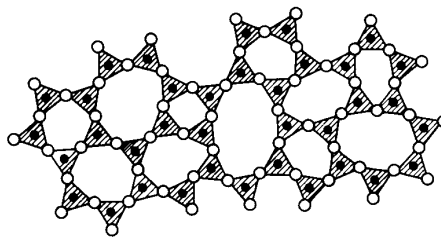
15

Estrutura do SiO_2



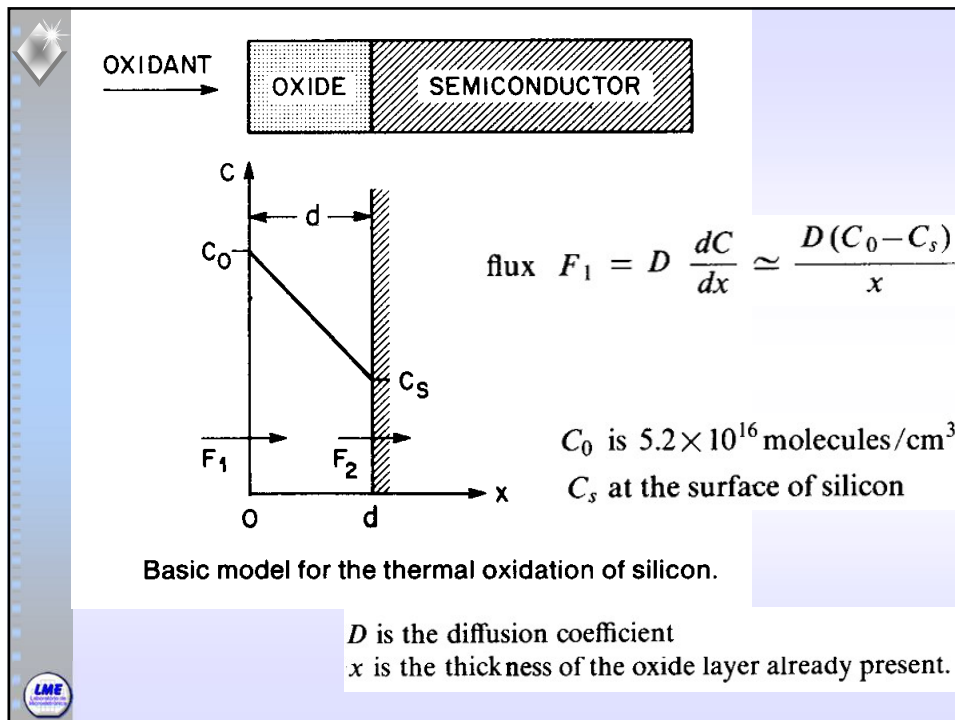
Basic structural unit of silicon dioxide.

Two dimensional representation of a quartz crystal lattice.



Two dimensional representation of the amorphous structure of silicon dioxide.





$F_1 = D \frac{dC}{dx} \approx \frac{D(C_0 - C_s)}{x}$

$F_2 = kC_s$

k is the surface reaction rate constant for oxidation.

$F_1 = F_2 = F.$

$F = \frac{DC_0}{x + (D/k)}$

$\frac{dx}{dt} = \frac{F}{C_1} = \frac{DC_0/C_1}{x + (D/k)}$

$x^2 + \frac{2D}{k}x = \frac{2DC_0}{C_1}(t + \tau) \quad \tau \equiv (d_0^2 + 2Dd_0/k)C_1/2DC_0$

$x = \frac{D}{k} \left[\sqrt{1 + \frac{2C_0 k^2(t + \tau)}{DC_1}} - 1 \right]$

Equacionamento do Processo de Oxidação

Equação de crescimento do óxido

$$X_{ox} = \frac{A}{2} \left[\sqrt{1 + \frac{(t + \tau)}{A^2 / 4B}} - 1 \right]$$

Nos **momentos iniciais** ($t \ll \tau$) a espessura do óxido não depende da difusão dos oxidantes → **lei de crescimento linear**

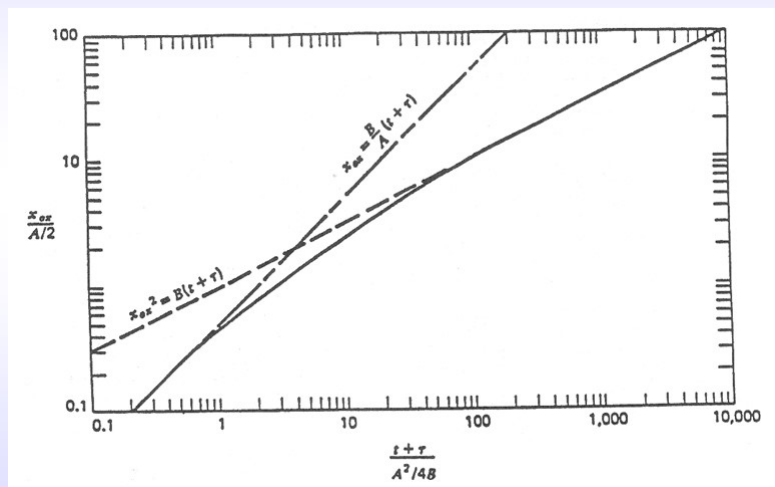
$$X_{ox} = \frac{B}{A}(t + \tau) \quad x \simeq \frac{C_0 k}{C_1} (t + \tau)$$

Para **tempos longos** ($t \gg \tau$) o processo é controlado por difusão do oxidante através do óxido → **lei de crescimento parabólico**

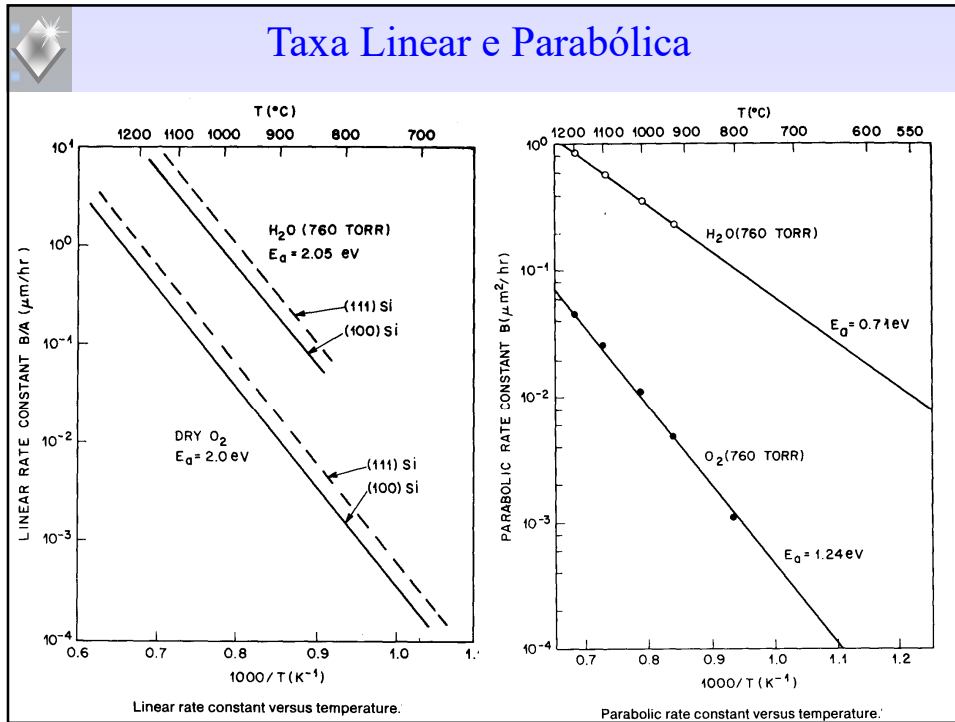
$$X_{ox}^2 = Bt \quad x \simeq \sqrt{\frac{2DC_0}{C_1} (t + \tau)}$$



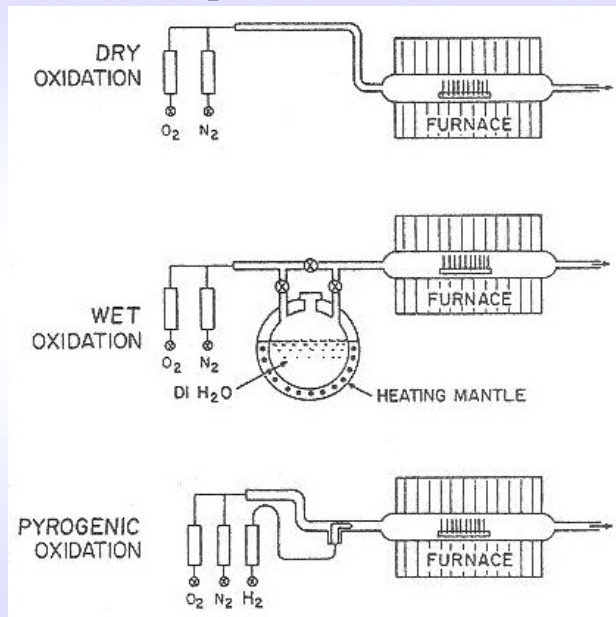
Espessura X tempo de crescimento



Taxa Linear e Parabólica

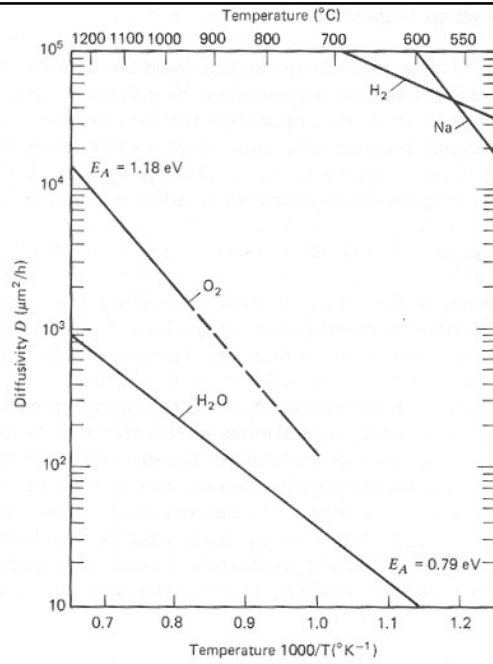


Tipos de Oxidação



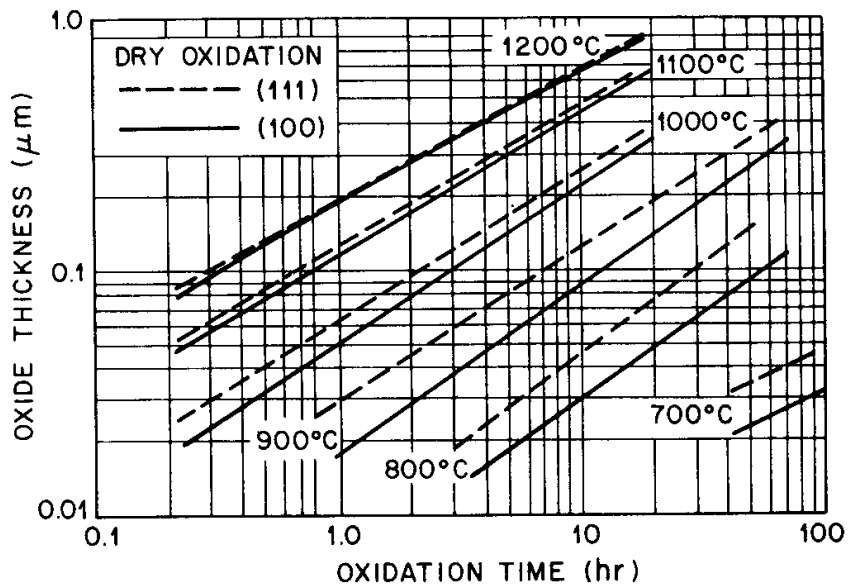
Difusividade

Explica a velocidade do processo de oxidação e auxilia na escolha do tipo de oxidação

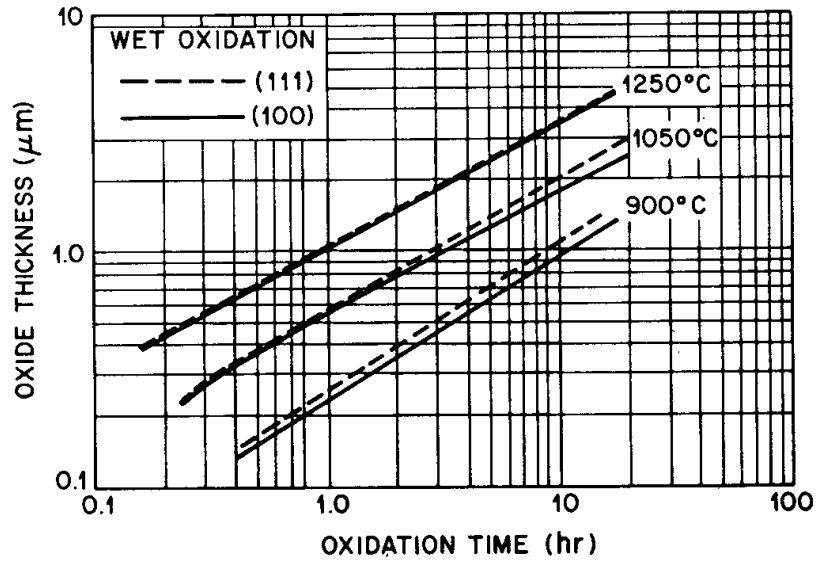


Diffusivities of hydrogen, oxygen, sodium, and water vapor in silica glass.

Oxidação Seca (Dry Oxidation)



Oxidação Úmida (*Wet Oxidation*)

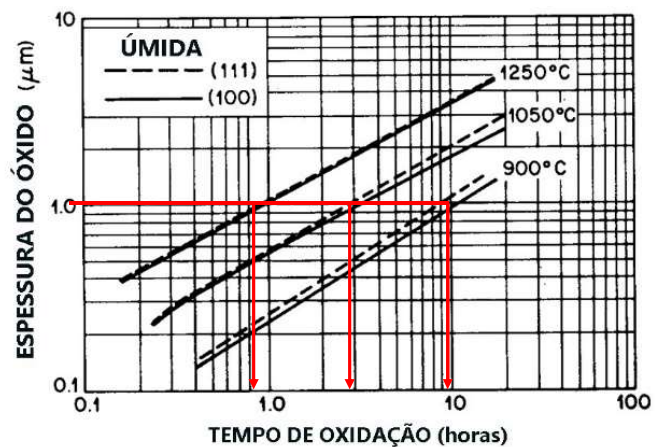


25

Oxidação Úmida (*Wet Oxidation*)

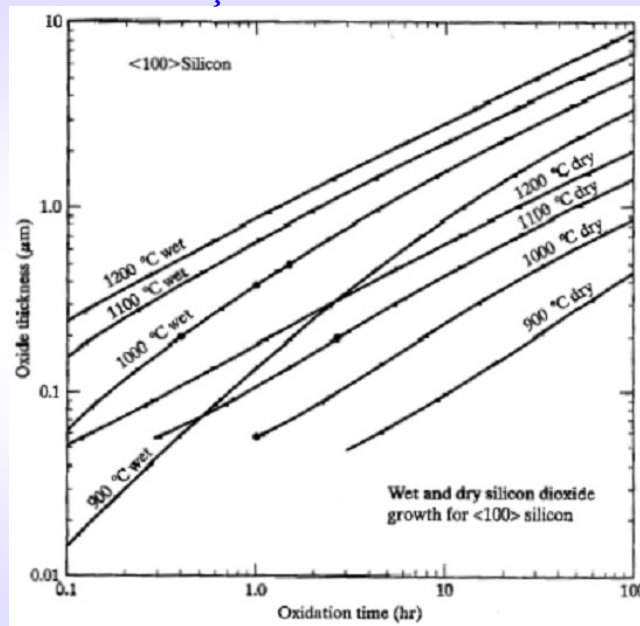
Uma espessura de 1 μm pode ser obtida por:

- 1h a 1250°C
- 3,2h a 1050°C
- 10,2h a 900°C



LME

Oxidação Úmida x Seca

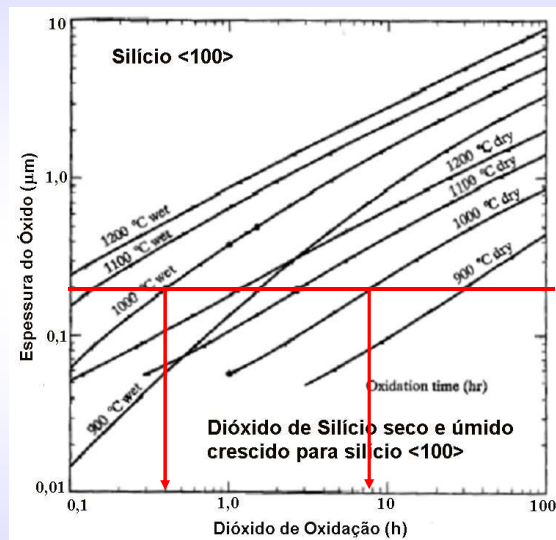


Oxidação Úmida x Seca

Uma espessura de 0,2 μm pode ser obtida por:

0,4h a 1000°C (úmida)

8h a 1000°C (seca)



Oxidação em substrato tipo P dopado com BORO

Redistribuição dos dopantes devido à oxidação

Oxidação em substrato tipo N

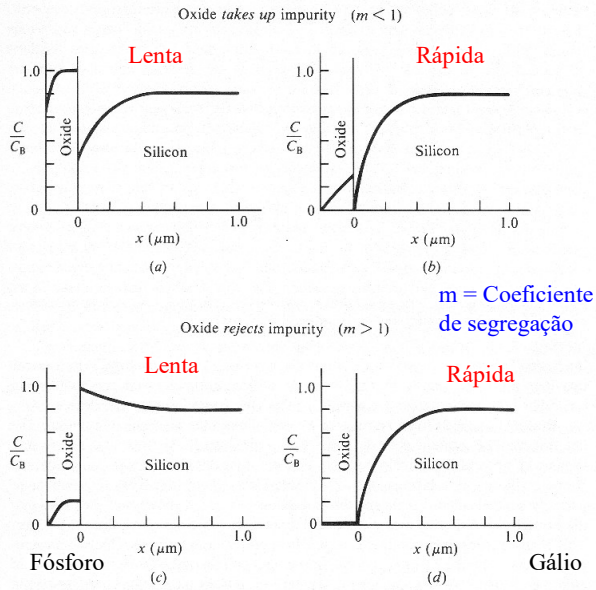
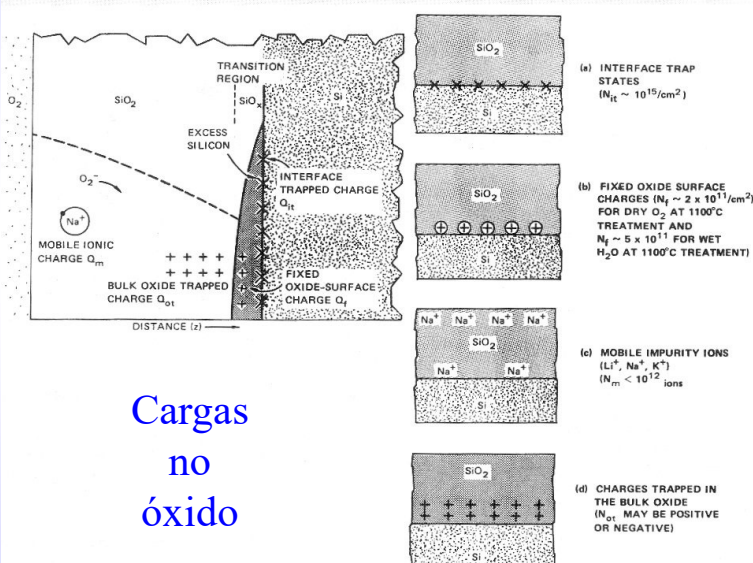


Figure 3-18 Dopant redistribution due to oxidation. (a) Diffusion in oxide slow (e.g., boron). (b) Diffusion in oxide fast. (c) Diffusion in oxide slow (e.g., phosphorus). (d) Diffusion in oxide fast (e.g., gallium). (Figures are reprinted from Ref. 28, p. 70, by permission of the publisher. Copyright 1967, John Wiley & Sons. Original credit is given to Ref. 35. Reprinted by permission of the publisher, The Electrochemical Society, Inc.)

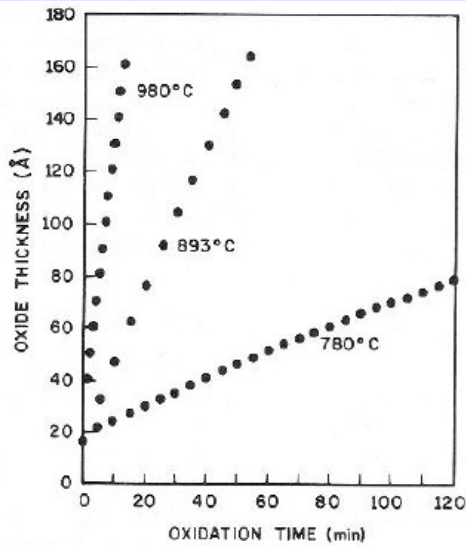
Location of oxide charges in thermally oxidized silicon structures

(From Brodie, I. and J. J. Murray, *The Physics of Microfabrication*, Plenum Press, New York, 1989. With permission.)



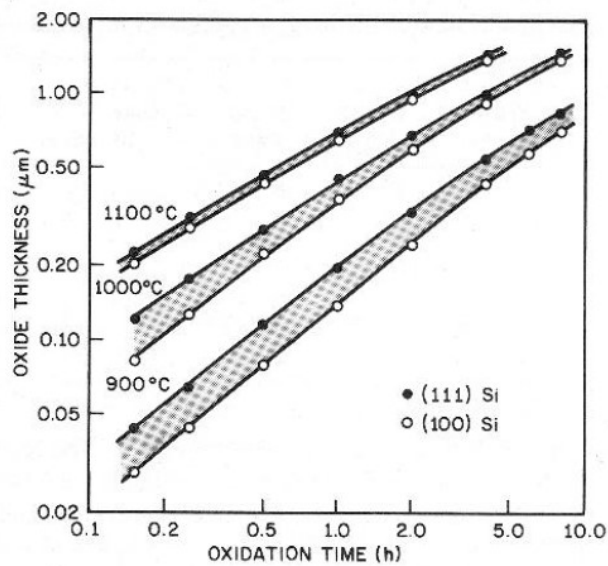
Cargas no óxido

Espessura x Tempo de crescimento



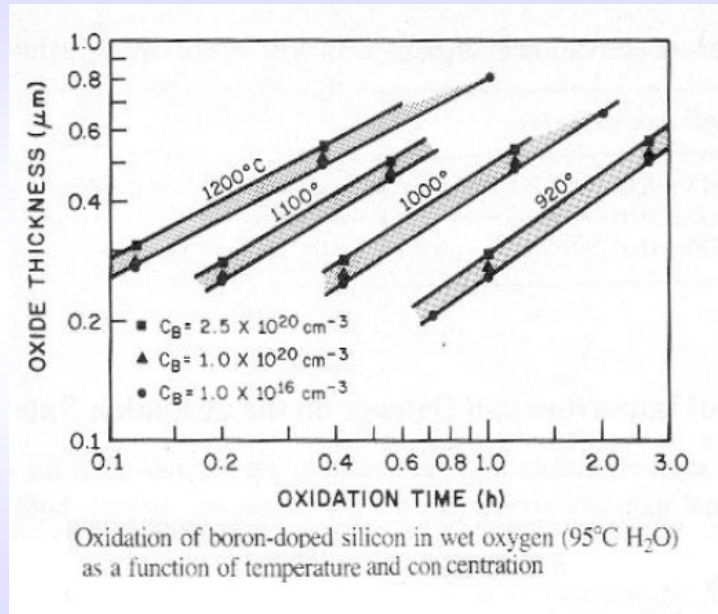
Oxide thickness versus oxidation time at 780, 893, and 980°C in dry oxygen.

Oxidação úmida em função da orientação cristalográfica

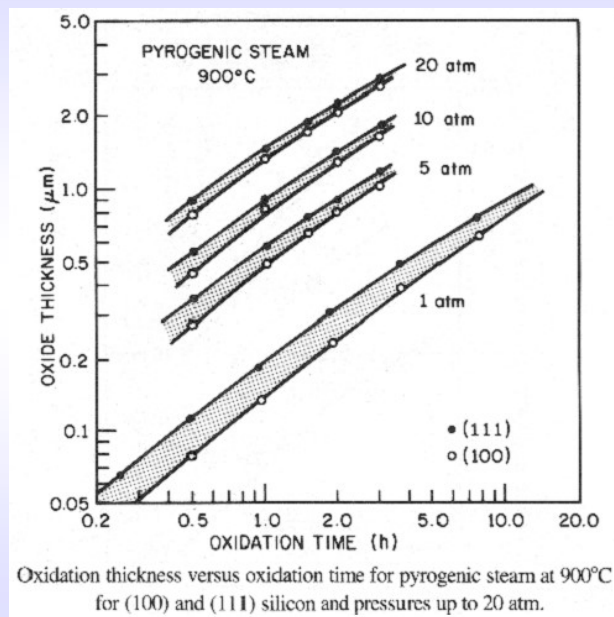


Oxide thickness versus oxidation time for silicon in H₂O at 640 Torr.

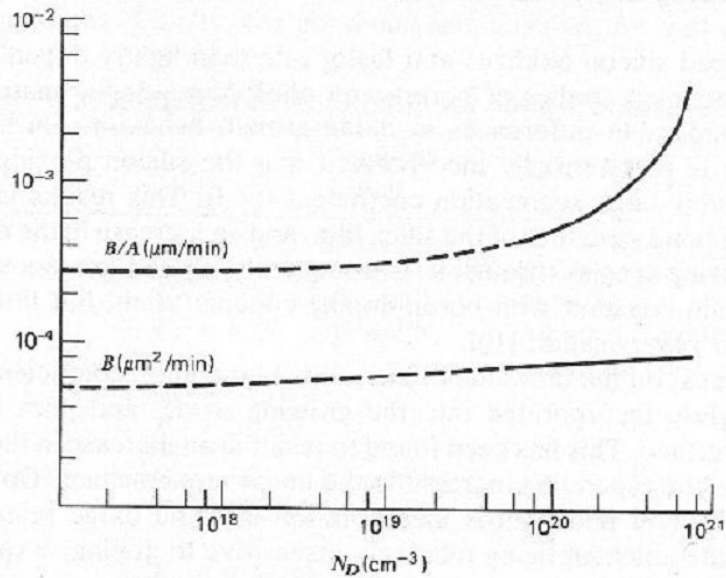
Oxidação úmida em função da dopagem do substrato



Oxidação pirogenica em função da dopagem do substrato

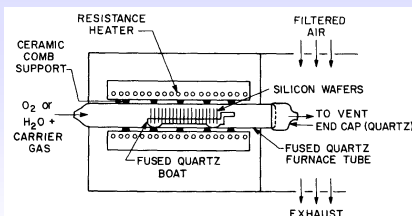


Coeficiente de oxidação x dopagem do substrato

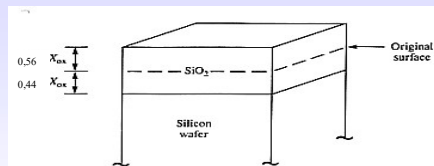


Rate constant versus substrate phosphorus doping level for oxidation at 900°C.

35

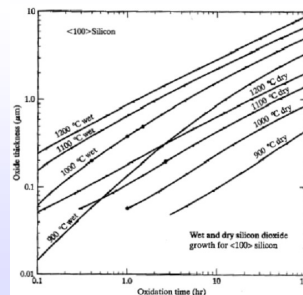
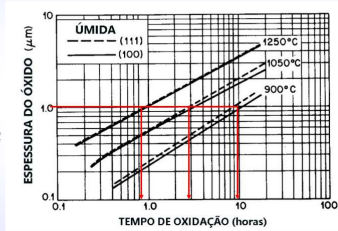


Schematic cross section of a resistance-heated oxidation furnace. The silicon wafer loading area is shown in a laminar hood.



FIM

Uma espessura de 1 μm pode ser obtida por:
 1h a 1250°C
 3,2h a 1050°C
 10,2h a 900°C



LME